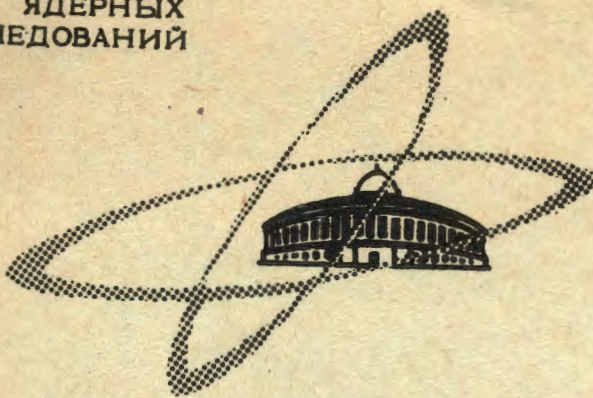


А-866

30/V-68

ОБЪЕДИНЕННЫЙ
ИНСТИТУТ
ЯДЕРНЫХ
ИССЛЕДОВАНИЙ

Дубна



P4 - 3800

И.З.Артыков, В.С.Барашенков

МЕЗОН-ЯДЕРНЫЕ ВЗАИМОДЕЙСТВИЯ
ПРИ ОЧЕНЬ ВЫСОКИХ ЭНЕРГИЯХ

ЛАБОРАТОРИЯ ТЕОРЕТИЧЕСКОЙ ФИЗИКИ

1968

P4 - 3800

И.З.Артыков, В.С.Барашенков

4289/3

МЕЗОН-ЯДЕРНЫЕ ВЗАИМОДЕЙСТВИЯ
ПРИ ОЧЕНЬ ВЫСОКИХ ЭНЕРГИЯХ

Направлено в Nuclear Physics



Анализ известных экспериментальных данных по взаимодействиям нуклонов с атомными ядрами в области энергий, больших нескольких десятков Гэв, показал, что внутри ядра с большой вероятностью происходят "многочисленные взаимодействия", в которых с одним внутриядерным нуклоном одновременно взаимодействуют несколько быстрых частиц¹⁻⁴.

Полученные недавно краковской группой экспериментальные данные о взаимодействиях π -мезонов с фотоэмulsionью при средней энергии около 200 Гэв (см. рис.1) ^{5,6} позволяют выполнить дополнительную проверку этого заключения. Так как данные краковской группы являются в настоящее время наиболее обстоятельным исследованием ядерных взаимодействий в области космических энергий, их анализ представляется весьма интересным x).

При расчете пион-ядерных столкновений мы использовали в точности те же самые приближения и те же предположения о свойствах многочастичных взаимодействий внутри ядра, что и в случае нуклон-ядерных столкновений ^{2,4}. Никаких изменений в программе расчетов не делалось.

Для полного сечения неупругих взаимодействий π -мезонов со средним ядром фотоэмulsionи получена величина $\sigma_{\text{in}} = 835+42$ мб, средние сечения неупругих взаимодействий отдельно с группой легких и с группой тяжелых ядер фотоэмulsionи оказались равными соответственно $195+8$ мб и $960+55$ мб. Эти значения близки к экспериментальным (см.рис.2).

В таблице 1 приведены наиболее важные средние характеристики неупругих пион-ядерных взаимодействий. Колонки LEm и HEm относятся x)

В области ускорительных энергий нуклон-ядерные взаимодействия хорошо согласуются с обычной каскадной моделью ⁷.

соответственно к группам легких и тяжелых ядер фотоэмulsionи, колонка Е_ш-ко всей fotoэмulsionи. Индексами з, г и в, как обычно, отмечены величины, относящиеся к ливневым, каскадным и испарительным частицам. В скобках указаны экспериментальные значения из работы^{/6/}. На рис.3 сравниваются теоретические и экспериментальные угловые распределения ливневых частиц.

Из приведенных данных видно, что расчет и опыт хорошо согласуются друг с другом. Если не учитывать многочастичных взаимодействий внутри ядра, то различие между расчетной и экспериментальной множественностью ливневых частиц оказывается не столь разительным, как в случае нуклон-ядерных взаимодействий ^{x)}, т.к. в случае пион-ядерного взаимодействия внутри ядра происходит, грубо говоря, вдвое меньше столкновений, чем в случае взаимодействия нуклон+ ядро. В то же время учет многочастичных взаимодействий оказывается весьма существенным для объяснения угловых распределений ливневых частиц.

Из таблицы II видно, что доля многочастичных взаимодействий внутри ядра составляет значительную величину.

Как и в случае нуклон-ядерных столкновений, многочастичные взаимодействия составляют больший процент в легких ядрах. Обращает на себя внимание значительный вклад столкновений, когда с нуклоном взаимодействует сразу пять и большее число частиц.

Все приведенные выше теоретические величины относятся к энергии первичных пионов Т = 200 Гэв, являющейся средней для экспериментального распределения(рис.1).Если энергию первичных пионов разыгрывать непосредственно по этому распределению, то результаты расчетов изменяются очень мало: величины π_v и π_{π}^{\pm} возрастают на 10%, угол $\theta_{1/2 \pi}$ наоборот, уменьшается на 10% (см.рис.3), остальные величины таблицы I в пределах ошибок остаются практически неизменными. Более заметные изменения претерпевает таблица II, в случае Е_ш доля многочастичных взаимодействий W_{int} ($n > 2$) увеличивается с 30 до 38%, соответственно W_{part} ($n > 2$) возрастает с 47 до 56%. Приблизительно в таком же соотношении увеличивается вклад многочастичных взаимодействий в группе легких и тяжелых ядер.

^{x)} Это обстоятельство уже подчеркивалось в работе /5/.

Мы пользуемся случаем поблагодарить профессоров М.Миезовича и Я.Геруля, а также сотрудников фотоэмulsionной группы в Кракове К.Рябитски и Я.Бабетски за обсуждения, мы особенно благодарны проф. Я.Геруля за предоставление нам экспериментального материала до его опубликования.

Л и т е р а т у р а

1. I.Z.Artykov, V.S.Barashenkov, S.M.Eliseev, *Nucl.Phys.*, 87, "241 (1966).
2. I.Z.Artykov, V.S.Barashenkov, S.M.Eliseev, *Nucl.Phys.* (в печати), препринт ОИЯИ Р2-3604 (1967).
3. И.З.Артыков, В.С.Барашенков, С.М.Елисеев. *Известия АН СССР* 31, 1448 (1967).
4. И.З.Артыков, В.С.Барашенков, С.М.Елисеев. Материалы Всесоюзного совещания по физике космических лучей в Новосибирске, 1967. Препринт ОИЯИ Р2-3508 (1967).
5. Z.Czachowska, J.Gierula, S.Krzywdzinski, M.Miesowicz, K.Rybicki, W.Wolter. Institut Badan Jaderwoch Report "P" No. 826, Warszawa, 1967.
6. J.Cierula, S.Krzywdzinski, *Nuovo Cim.* (в печати).
7. I.Z.Artykov, V.S.Barashenkov, S.M.Eliseev, *Nucl. Phys.* 87, 83(1966).
8. В.С.Барашенков. Сечения взаимодействия элементарных частиц, Москва, изд-во "Наука", 1966.

Рукопись поступила в издательский отдел
9 апреля 1968 года.

Таблица I

Взаимодействие π - мезонов с ядрами фотоэмulsionии при энергии 200 Гэв.
 a - множественность вторичных частиц; a^\pm - множественность заряженных вторичных частиц; r - их кинетическая энергия; r_e - кинетическая энергия лидирующей частицы (пиона), уносящей основную часть энергии (~70%); P_\perp - поперечный импульс вторичных частиц; $\theta_{1/2}$ - угол, в который вылетает половина этих частиц.

	LE m	E m	HE m
a_s	I5,0+0,6	I7,5+I,I	24,0+I,4
a_s^\pm	9,7+0,4	II,2+0,6	I5,4+0,7
	(8,0+ 0,9)	(I0,7+0,9)	(I4,7+2,0)
a_q	I,7+0,I	3,9+0,3	4,7+0,3
a_b		I2,I+0,6	I7,0+0,9
a_b^\pm		9,4+0,5	I3,I+0,7
r_ℓ , Гэв	I20 + 5	I04 + 6	94 + 6
r_s , Гэв	5,6+ 0,3	5,4+0,4	4,4+0,3
r_q , Мэв	I50 + 6	I50 + 7	I50 + 7
r_b , Мэв		I3,5+0,6	I4 +0,6
$p_{\perp s}$, Мэв/с	420 + 20	470+ 30	520+ 30
$p_{\perp q}$, Мэв/с	350 + 20	360 + 30	350 + 20
$\theta_{1/2 s}$, град.	6;5 + 0,3 (6,2+0,4)	9,0+ 0,5 (8,3+0,6)	I2,0+ 0,6 (II,0+ I,I)
$\theta_{1/2 q}$, град.	6I + 3	64 + 4	70 + 4

Таблица II

Вклад многочастичных взаимодействий в пион-ядерном взаимодействии при энергии 200 Гэв (%). $W_{int}(n)$ - относительное число n - частичных взаимодействий, когда с внутриддерным нуклоном взаимодействует ($n-1$) частица (по отношению к полному числу упругих и неупругих столкновений s - и g - частиц внутри ядра); $W_{prt}(n)$ - относительная доля частиц, участвующих в n - частичных взаимодействиях (в начальных состояниях).

n	LEm		Em		HEm	
	$W_{int}(n)$	$W_{prt}(n)$	$W_{int}(n)$	$W_{prt}(n)$	$W_{int}(n)$	$W_{prt}(n)$
2	61	42	70	51	74	56
3	18	19	15	17	14	16
4	10	14	7	11	6	9
5	6	9	4	8	3	7
≥ 6	5	16	4	13	3	12

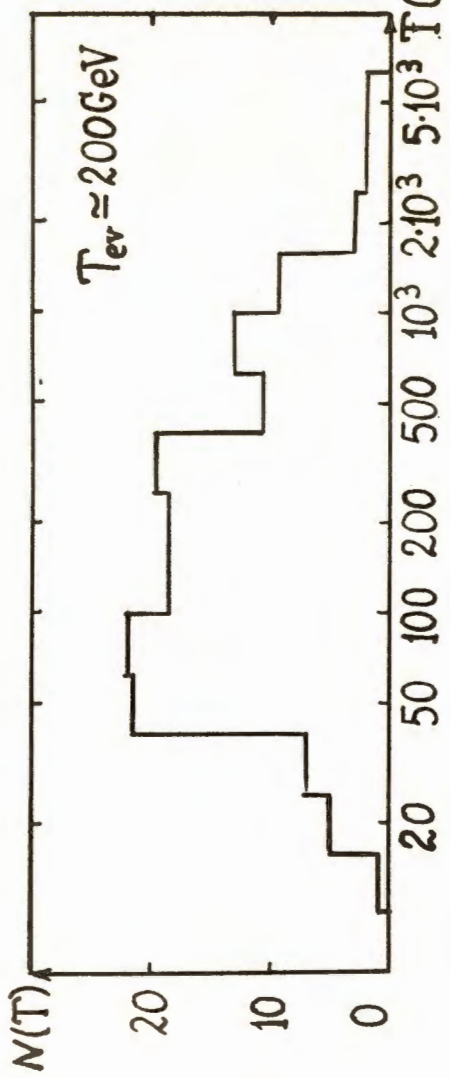


Рис.1. Распределение пион-ядерных взаимодействий, наблюдавшихся в работе /6/, по величине кинетической энергии первичных π - мезонов.

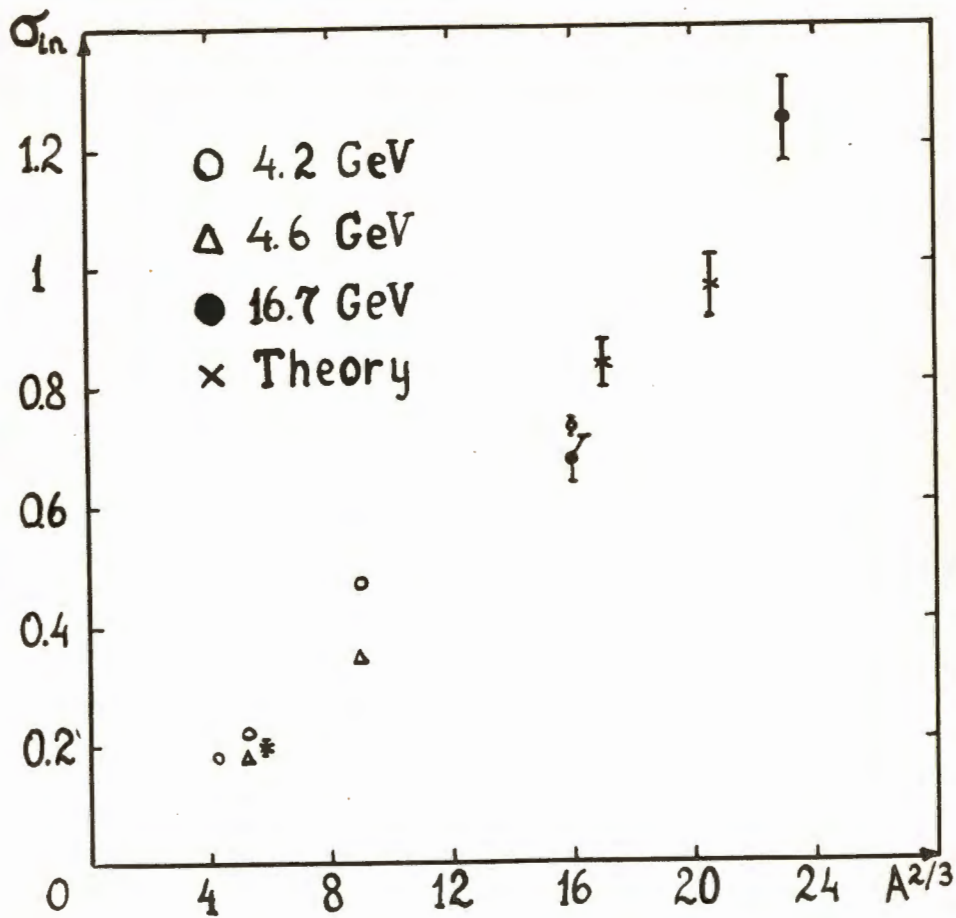


Рис.2. Сечение пион-ядерных взаимодействий. A - атомный номер ядра-мишени. Подробная библиография экспериментальных данных приведена в монографии /8/.

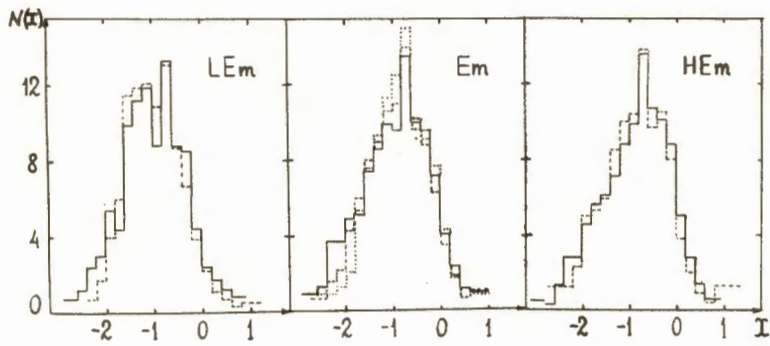


Рис.3. Распределение заряженных ливневых частиц по величине $x = \log \tan \theta$. Сплошная гистограмма – эксперимент /8/, пунктир-расчет для энергии первичных π – мезонов $T=200$ Гэв, точечная гистограмма – расчет с розыгрышем энергии первичных π – мезонов по распределению рис.1.